



# 工程力学

## 第14章

## 压杆稳定





# 第14章 压杆稳定

- § 14. 1 稳定的概述
- § 14. 2 细长压杆的临界力
- § 14. 3 欧拉公式的适用范围 经验公式
- § 14. 4 压杆的稳定校核
- § 14. 5 提高压杆稳定的措施



# 14.1 稳定的概念

## 一. 问题的提出

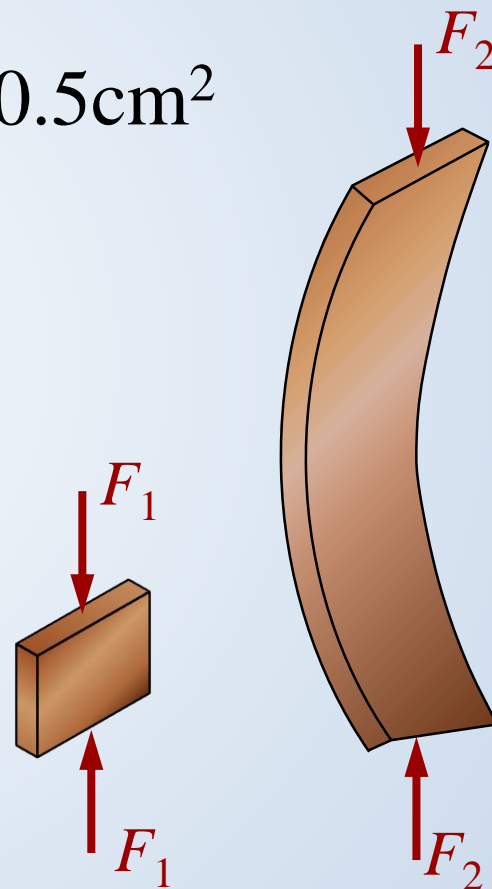
已知：木杆  $\sigma_{cb}=40\text{MPa}$   $A=3\times 0.5\text{cm}^2$

$$l_1=3\text{cm} \quad F_{1\max}=6\text{kN}$$

$$l_2=1\text{m} \quad F_{2\max}=27.8\text{N}$$

直线平衡形式  $\longrightarrow$  变弯

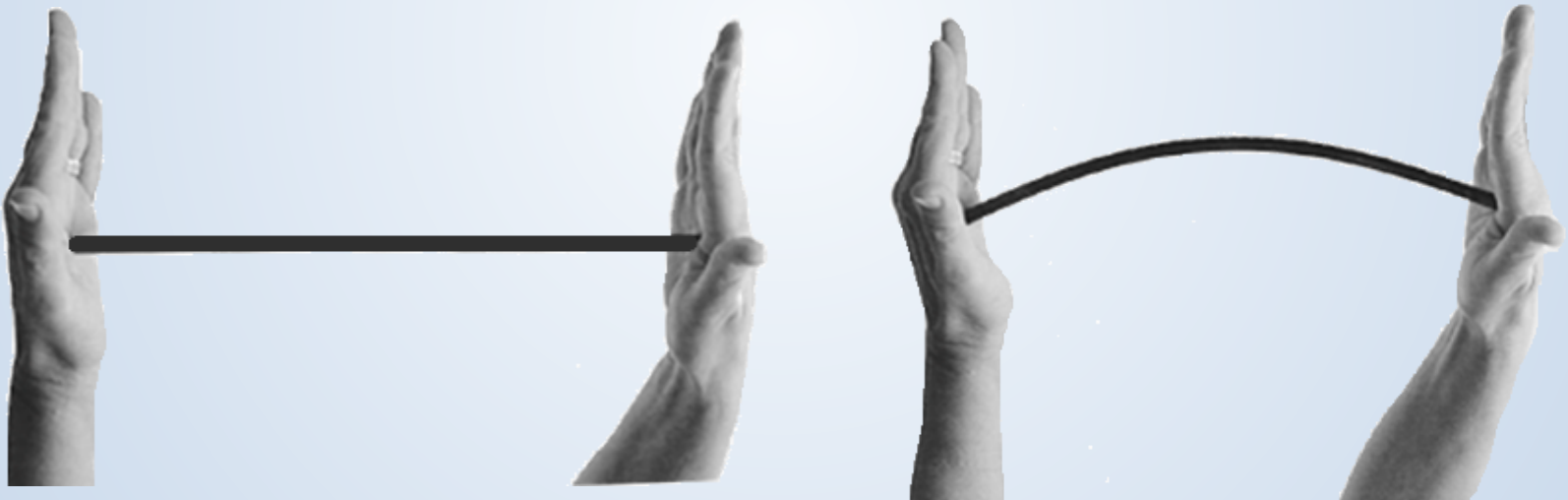
这种失效称 **失稳**





## 14.1 稳定的概念

### 稳定问题的实例





# 14.1 稳定的概念

## 稳定问题的实例







# 14.1 稳定的概念

## 稳定问题的实例





## 14.1 稳定的概念

### 二. 稳定与失稳

**稳定**—构件维持原有平衡状态的能力

**失稳**—构件失去原有的平衡状态

**失稳破坏的特点**: 整体的, 突然的

**失稳破坏的危害**: 非常严重的



# 14.1 稳定的概念

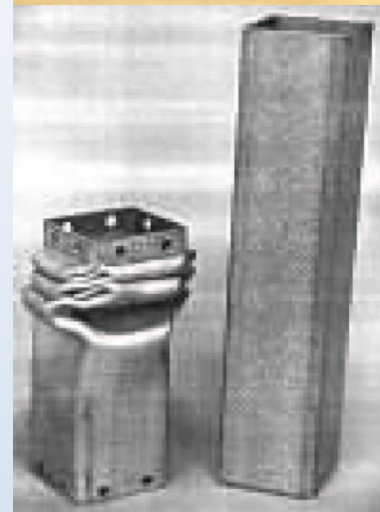
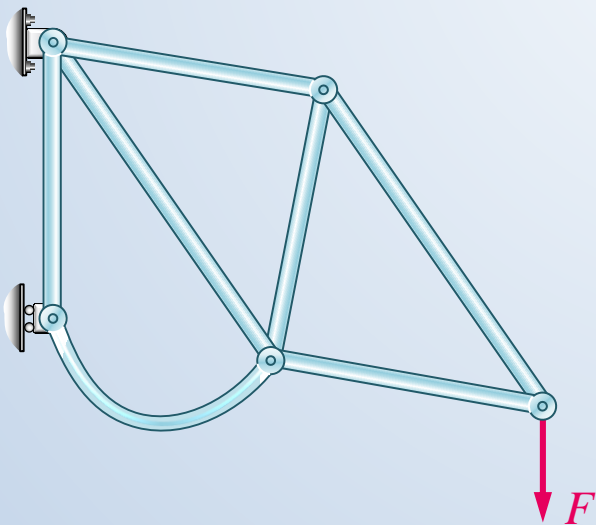
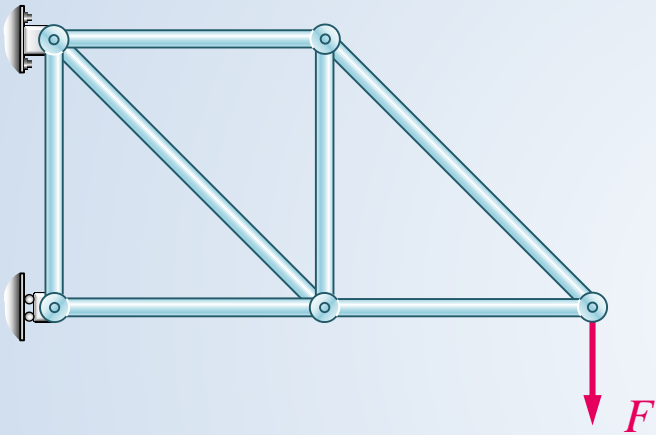
## 失稳的实例





## 14.1 稳定的概念

## 失稳的实例

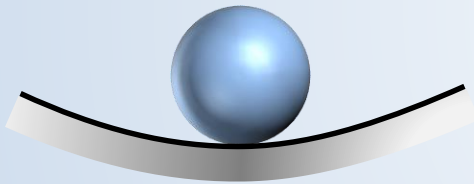




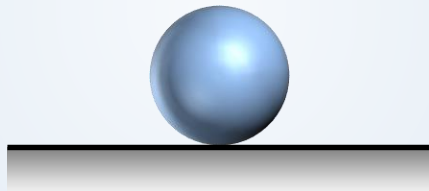
## 14.1 稳定的概念

### 三. 平衡形式的稳定性

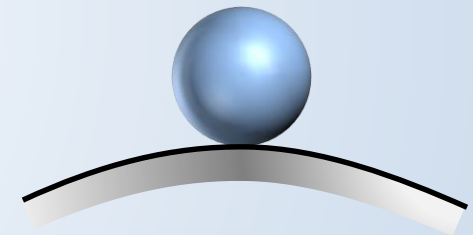
#### 刚体平衡的稳定性



稳定平衡



随遇平衡

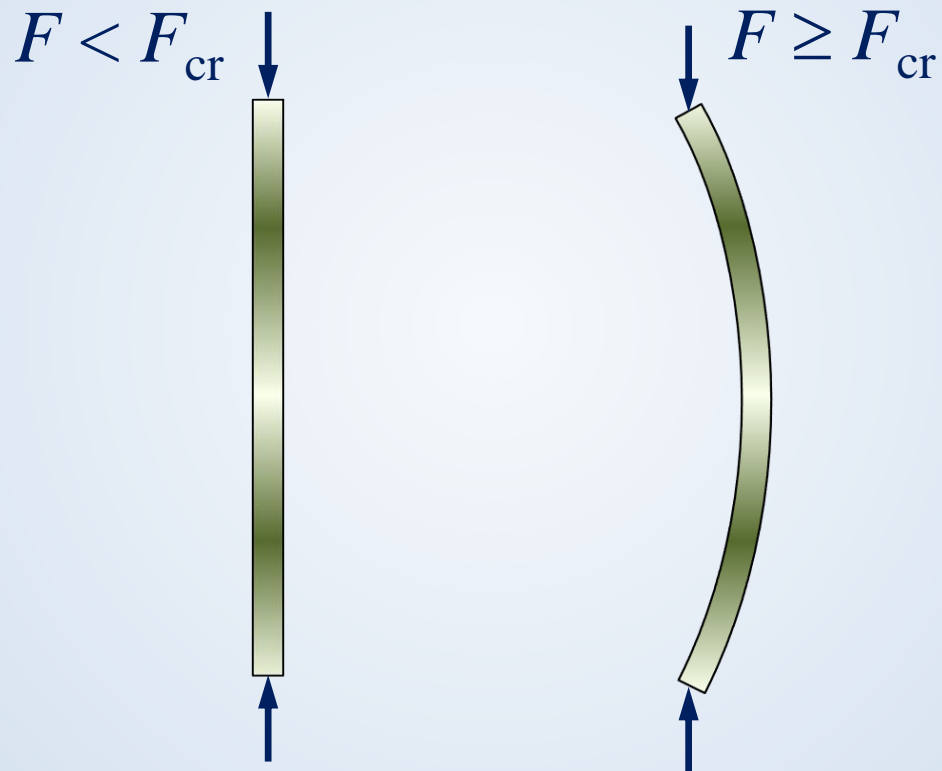


不稳定平衡



## 14.1 稳定的概念

### 四. 弹性压杆稳定平衡的临界力 ( $F_{cr}$ )

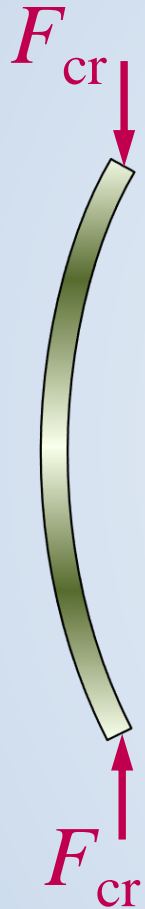


稳定平衡

不稳定平衡



## 14.1 稳定的概念



临界力 $F_{cr}$

它是维持直线平衡的最大压力

它是微弯状态下平衡的最小压力

它是由稳定平衡到不稳定的过渡值





## 14.2 细长压杆的临界力



理想压杆的条件：

1. 压力作用线与杆轴线重合
2. 材质均匀
3. 无初曲率

## 14.2 细长压杆的临界力

### 一. 依压杆在微弯状态下平衡的 挠曲线微分方程 求 $F_{cr}$

## 临界状态--微弯状态下平衡

## 设压杆微弯状态下平衡的挠曲线

$$EIv'' = M(x)$$

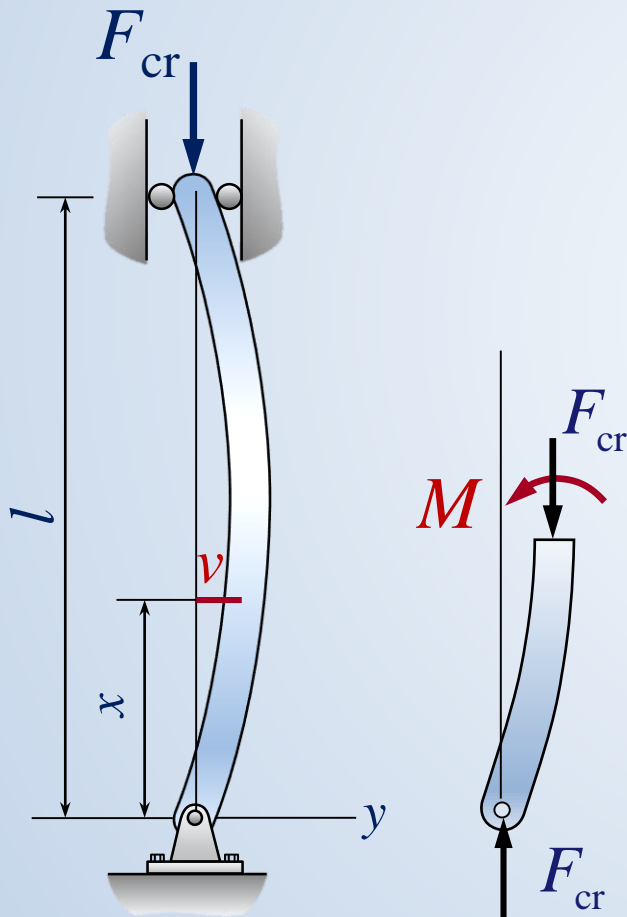
 $F_{cr}$ 

挠曲线满足  $\left\{ \begin{array}{l} \text{边界条件} \\ \text{微小} \end{array} \right.$



## 14.2 细长压杆的临界力

### 两端铰支细长压杆的临界力



$$EIv'' = M(x) = -F_{cr}v$$

$$EIv'' + F_{cr}v = 0$$

$$\text{令 } \frac{F_{cr}}{EI} = K^2$$

$$v'' + K^2v = 0$$

解得：

$$v = C_1 \sin(Kx) + C_2 \cos(Kx)$$



## 14.2 细长压杆的临界力

边界条件：

$$x = 0, v = 0 \Rightarrow C_2 = 0$$

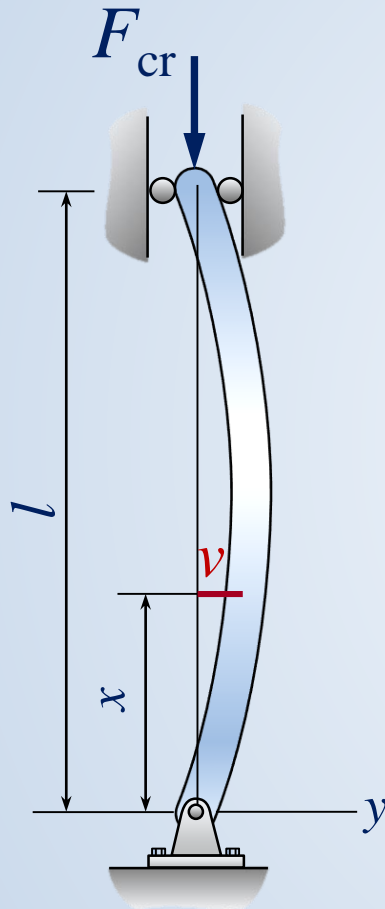
$$x = l, v = 0 \Rightarrow C_1 \neq 0$$

$$\text{故} \quad \sin Kl = 0$$

$$\text{得} \quad Kl = n\pi \quad \frac{F_{\text{cr}}}{EI} = K^2$$

$$F_{\text{cr}} = \frac{n^2 \pi^2 EI}{l^2}$$

$$v = C_1 \sin(Kx) + C_2 \cos(Kx)$$







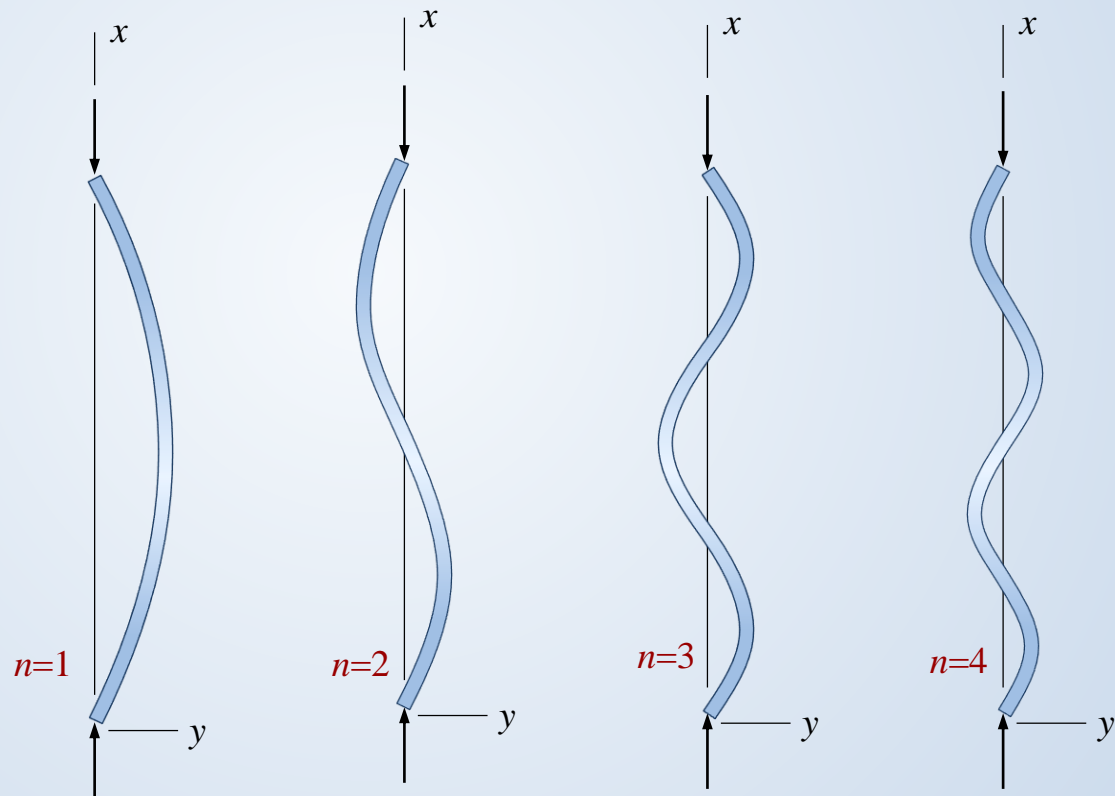
## 14.2 细长压杆的临界力

$$F_{cr} = \frac{n^2 \pi^2 EI}{l^2}$$

$$v = C_1 \sin \frac{n\pi}{l} x$$

$n=?$

半波正弦曲线





## 14.2 细长压杆的临界力

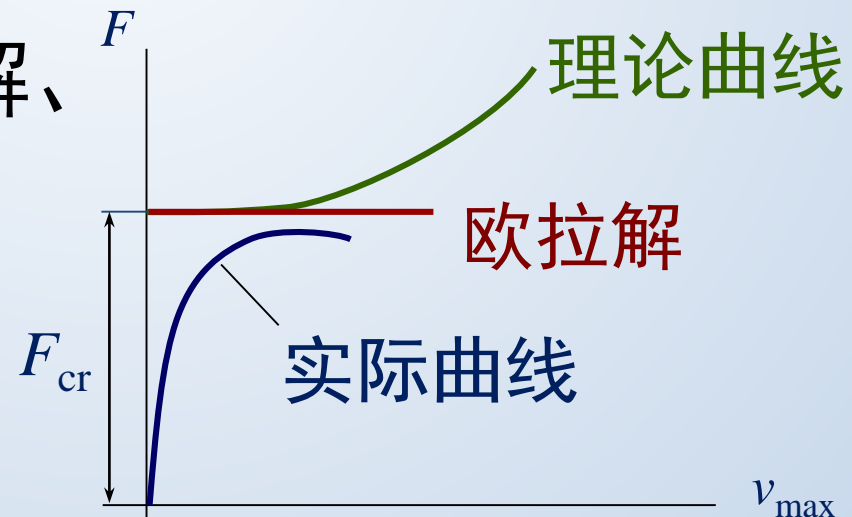
### 两端铰支细长压杆临界力的欧拉公式

$$F_{cr} = \frac{\pi^2 EI}{l^2} \quad (L.Euler)$$

#### 讨论

(1)关于失稳侧向（支座形式、 $I_{\min}$ ）

(2)欧拉解与理论解、  
实际值的关系

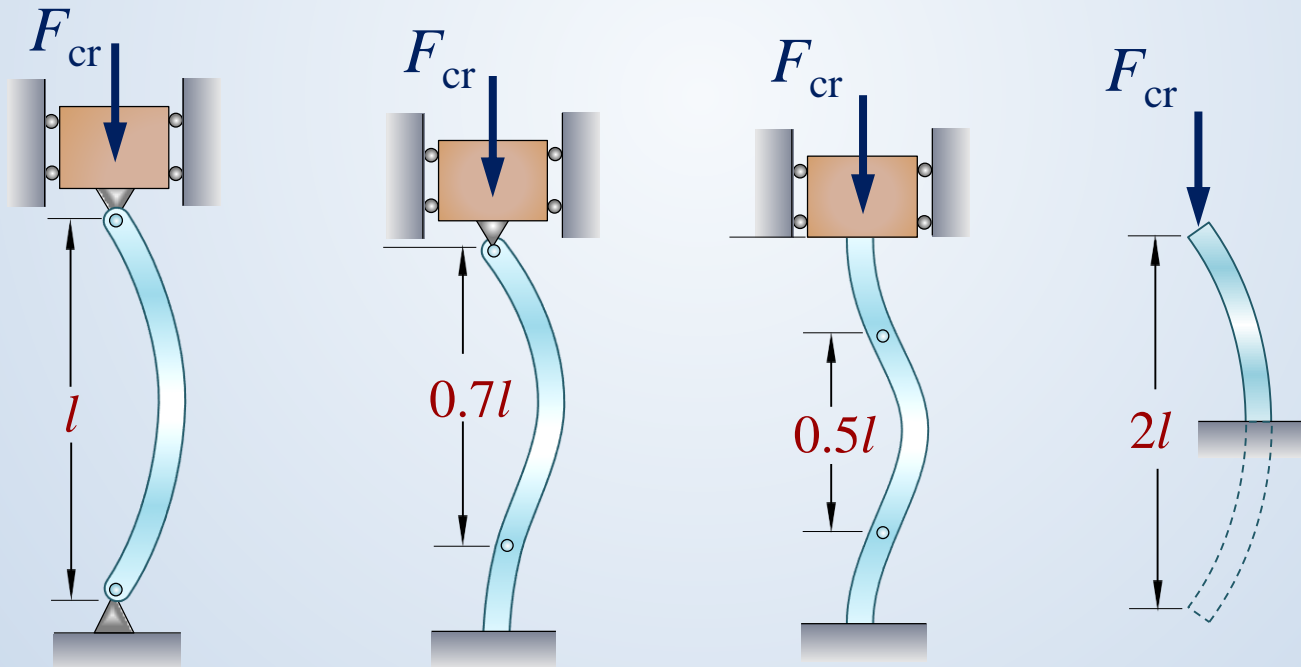




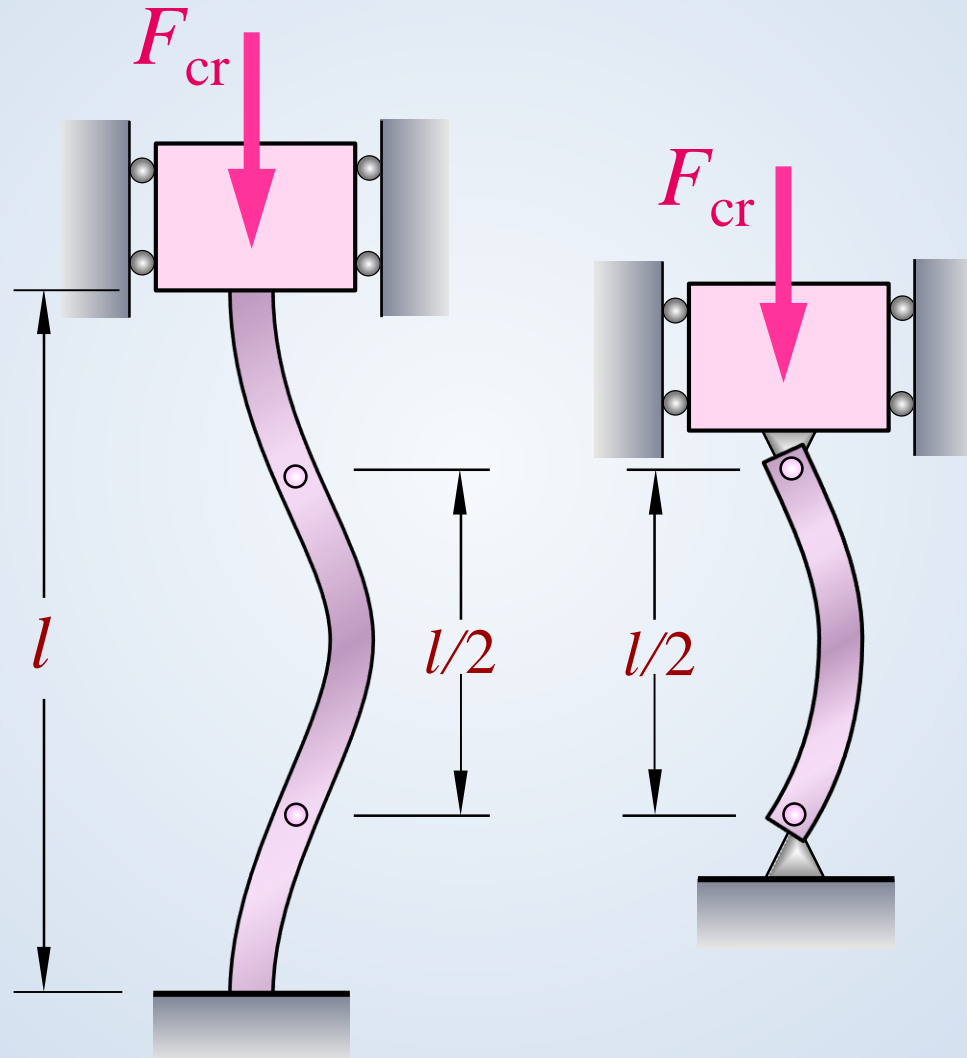
## 14.2 细长压杆的临界力

### 二. 类比法

根据挠曲线波形比较导出几种常见约束条件下的 $F_{cr}$



## 14.2 细长压杆的临界力







## 14.2 细长压杆的临界力

### 三. 欧拉公式的普遍表达式

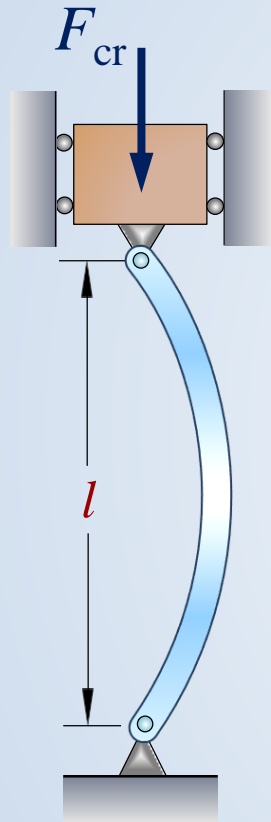
$$F_{\text{cr}} = \frac{\pi^2 EI}{(\mu l)^2}$$

$\mu$  — 长度系数（与支座有关）

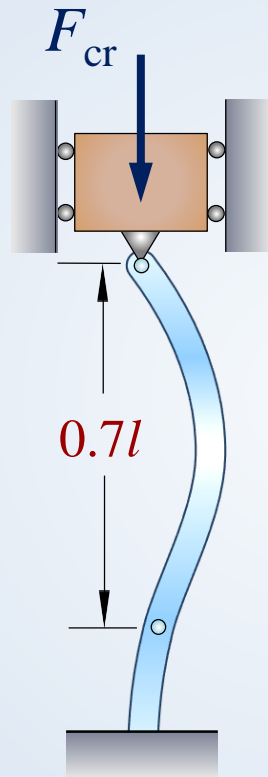
$\mu l$  — 相当长度（半波长）

理想细长压杆的临界力

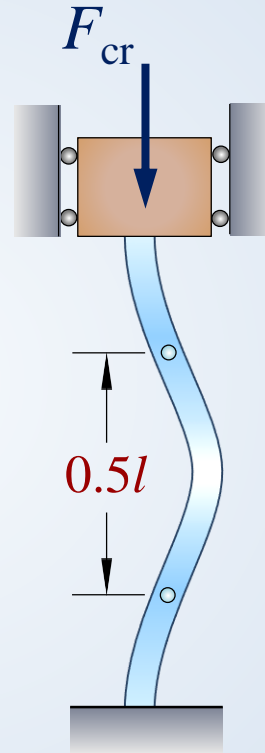
## 14.2 细长压杆的临界力



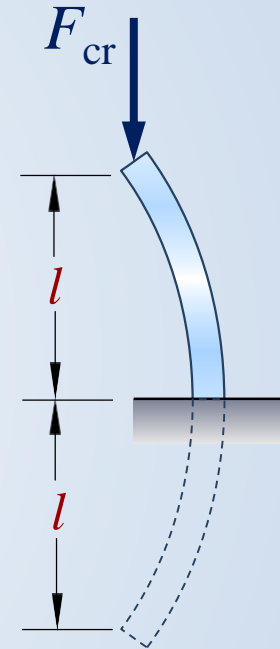
$$\mu = 1$$



$$\mu = 0.7$$



$$\mu = 0.5$$



$$\mu = 2$$



## 14.3 欧拉公式的适用范围

### 一. 临界应力和压杆的柔度

$$\sigma_{\text{cr}} = \frac{F_{\text{cr}}}{A} = \frac{\pi^2 E}{(\mu l)^2} \frac{I}{A}$$

$$I = i^2 A \quad \frac{I}{A} = i^2$$



$$\sigma_{\text{cr}} = \frac{\pi^2 E}{\left(\frac{\mu l}{i}\right)^2}$$

$$\sigma_{\text{cr}} = \frac{\pi^2 E}{\lambda^2}$$

令

$$\lambda = \frac{\mu l}{i}$$

$\lambda$ — 压杆的柔度

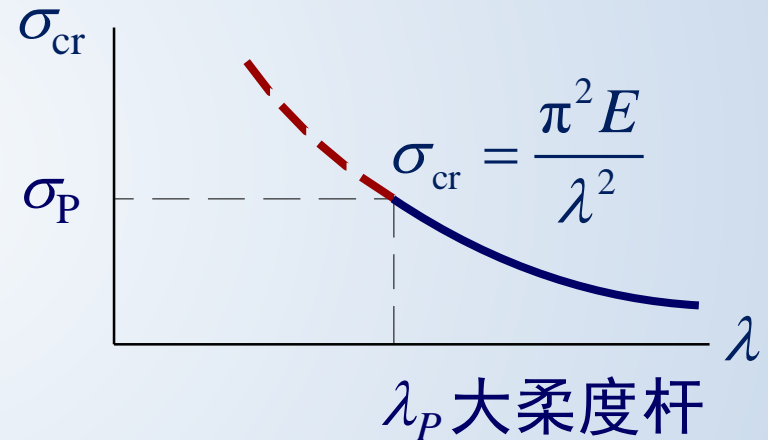


## 14.3 欧拉公式的适用范围

### 二. 欧拉公式的适用范围

$$\sigma_{cr} = \frac{\pi^2 E}{\lambda^2} \leq \sigma_p \quad \lambda^2 \geq \frac{\pi^2 E}{\sigma_p}$$

$$\lambda \geq \pi \sqrt{\frac{E}{\sigma_p}} \quad \lambda_p = \pi \sqrt{\frac{E}{\sigma_p}}$$



$\lambda \geq \lambda_p$  大柔度杆（细长杆）





## 14.3 欧拉公式的适用范围

### 三. 中小柔度杆的临界力—经验公式

$$\lambda \leq \lambda_p \quad \sigma_p \leq \sigma_{cr} \leq \sigma_s$$

直线公式

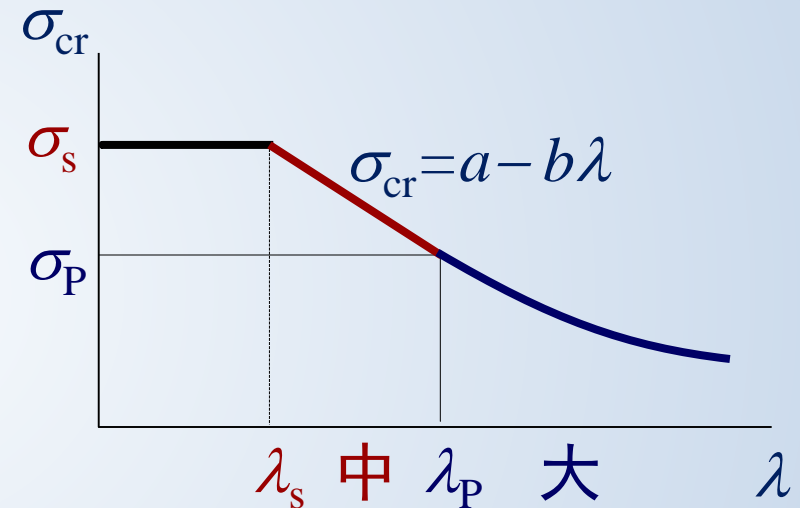
$$\sigma_{cr} = a - b\lambda$$

适用范围  $\sigma_{cr} = (a - b\lambda) \leq \sigma_s$

$$\lambda \geq \frac{a - \sigma_s}{b} \quad \lambda_s = \frac{a - \sigma_s}{b}$$

$$\lambda_s \leq \lambda \leq \lambda_p$$

中柔度杆





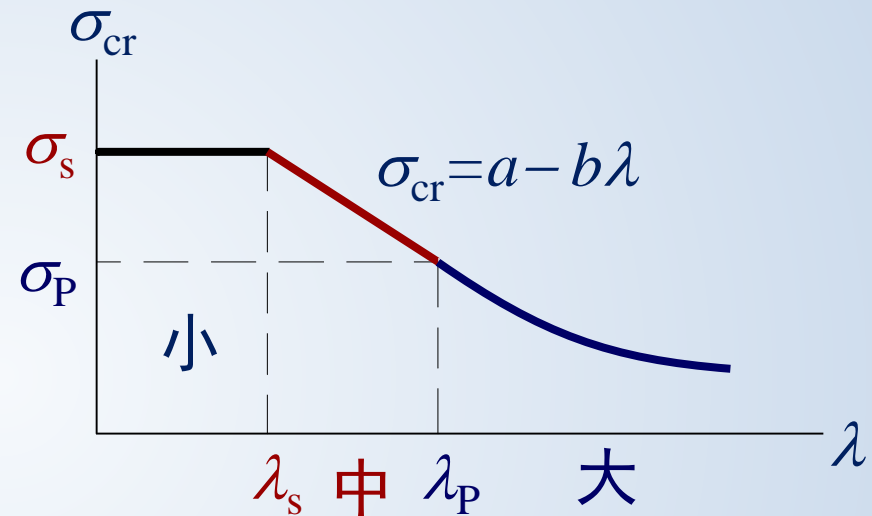
## 14.3 欧拉公式的适用范围

$$\sigma_{cr} = a - b\lambda$$

$a, b$  可查表 Q235 钢

$$\sigma_{cr} = 304 - 1.12\lambda (\text{MPa})$$

$$\lambda_p = 100 \quad \lambda_s = 60$$



$$\lambda < \lambda_s$$

小柔度杆

$$\sigma_{cr} = \sigma_s$$



## 14.3 欧拉公式的适用范围

### 四. 求解临界力 $F_{cr}$ 的



### 步骤

1. 求

$$\lambda = \frac{\mu l}{i}$$

2. 由 $\lambda$ 的范围选择求临界力的公式

$$\lambda \geq \lambda_P$$

$$\sigma_{cr} = \frac{\pi^2 E}{\lambda^2}$$

$$F_{cr} = \frac{\pi^2 EI}{(\mu l)^2}$$

$$\lambda_s \leq \lambda \leq \lambda_P$$

$$\sigma_{cr} = a - b\lambda$$



$$F_{cr} = \sigma_{cr} A$$

$$\lambda < \lambda_s$$

$$\sigma_{cr} = \sigma_s$$



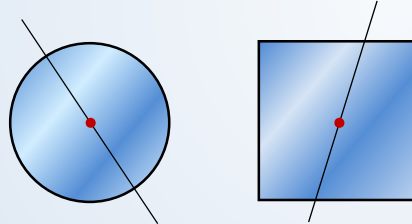
## 14.3 欧拉公式的适用范围

### 五. 关于失稳侧向的讨论

1. 各方向 $\mu$ 相同  $I_{\max} = I_{\min}$

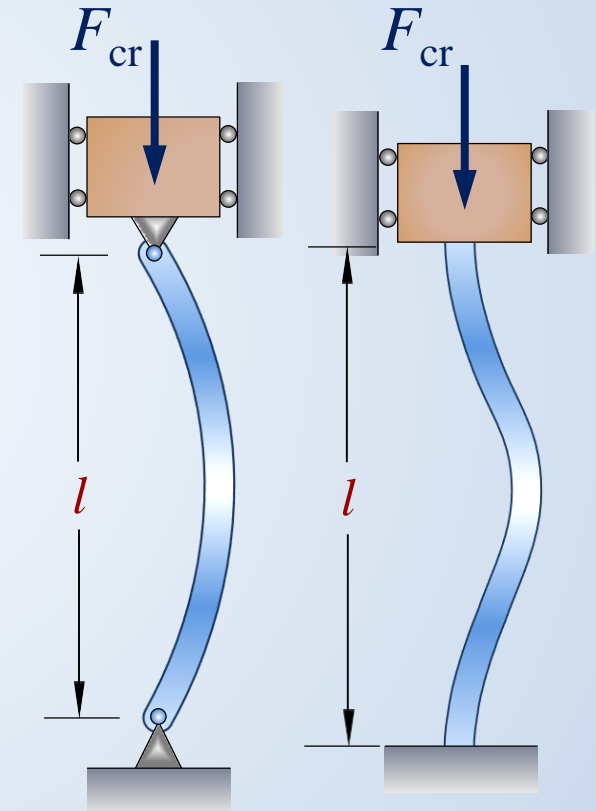
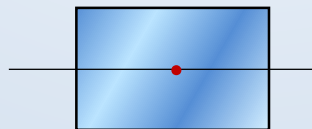
(球铰 固定端)

随机失稳



2. 各方向 $\mu$ 相同  $I_{\max} \neq I_{\min}$

绕 $I_{\min}$ 轴失稳

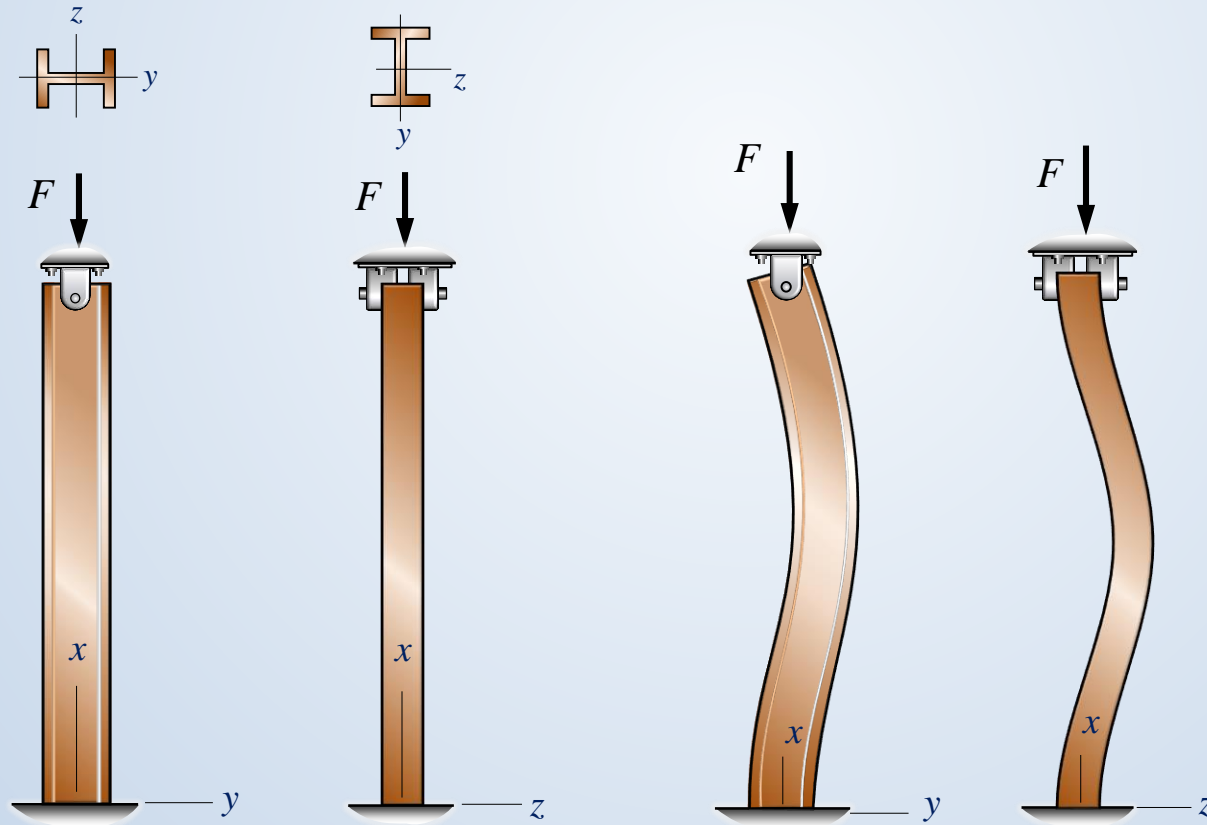




## 14.3 欧拉公式的适用范围

### 3. 各方向 $\mu$ 不同 (柱铰) $I_{\max} \neq I_{\min}$

在 $\lambda_{\max}$ 的平面内失稳

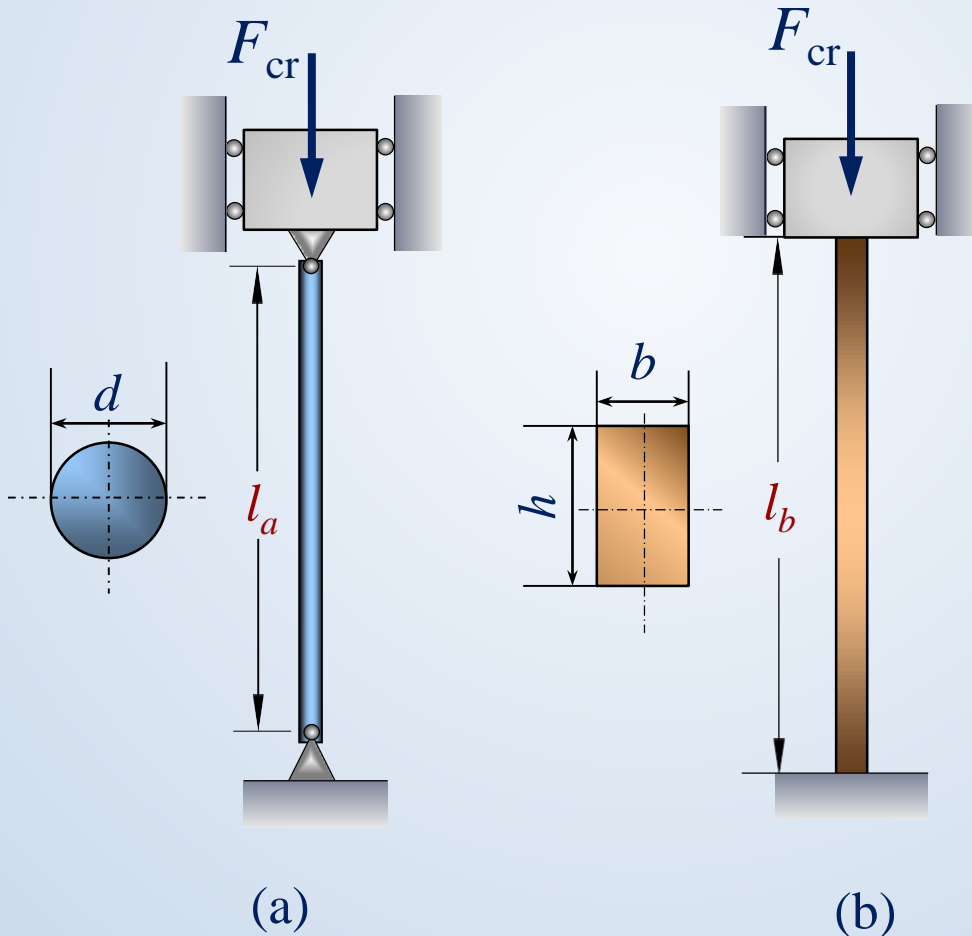




## 14.3 欧拉公式的适用范围

例1 已知 Q235钢  $E=206\text{GPa}$  (a)  $d=16\text{cm}$ ,  $l_a=500\text{cm}$

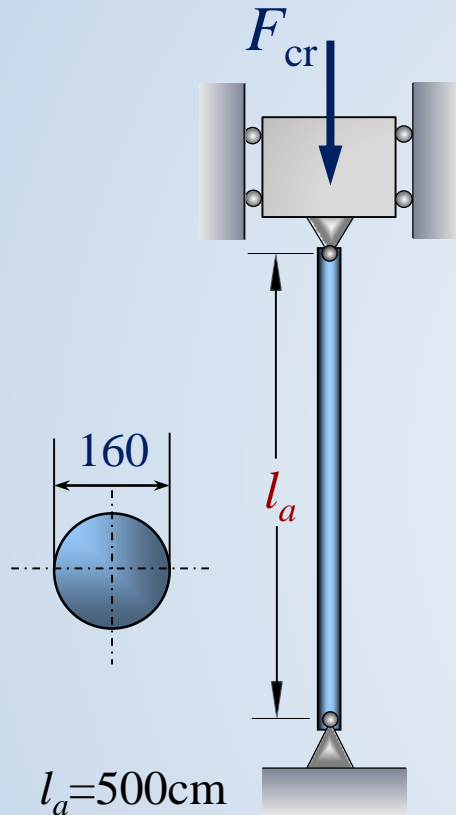
(b)  $b=20\text{cm}$ ,  $h=30\text{cm}$   $l_b=900\text{cm}$  求:  $\sigma_{\text{cr}}$   $F_{\text{cr}}$







## 14.3 欧拉公式的适用范围



解：求  $a$  杆  $\sigma_{cr}$   $F_{cr}$

$$\mu_a = 1 \quad i_a = \frac{d}{4} = 4\text{cm}$$

$$\lambda_a = \frac{\mu_a l_a}{i_a} = 125$$

对Q235钢， $\lambda_p \approx 100$ ， $\lambda_a = 125 > \lambda_p$

故为大柔度杆。用欧拉公式

$$\sigma_{cr} = \frac{\pi^2 E}{\lambda_a^2} = 126.3\text{MPa}$$

$$F_{cr} = \sigma_{cr} A = \sigma_{cr} \frac{\pi d^2}{4} = 2.54 \times 10^3\text{kN}$$



## 14.3 欧拉公式的适用范围

解：求  $b$  杆  $\sigma_{cr}$   $F_{cr}$

$$\mu_b = 0.5 \quad i_{b\min} = \sqrt{\frac{I_{\min}}{A}} = 5.77 \text{ cm}$$

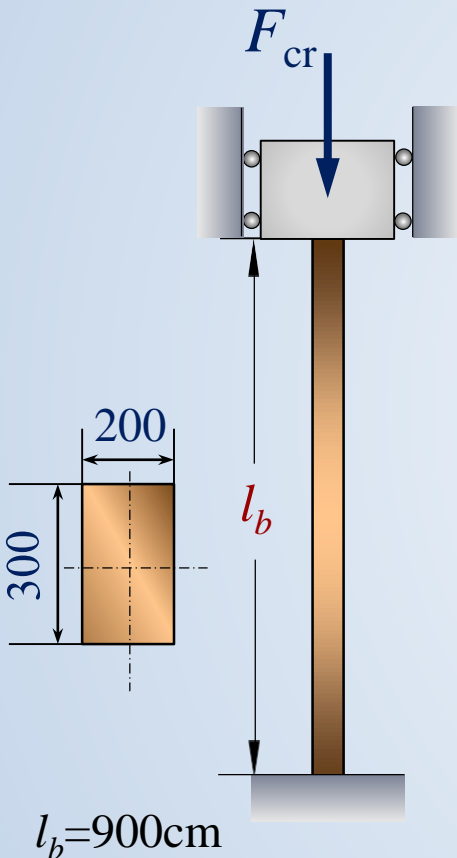
$$\lambda_b = \frac{\mu_b l_b}{i_b} = 78$$

对Q235钢,  $\lambda_s \approx 60$ ,  $\lambda_s < \lambda_b < \lambda_p$

故为中柔杆。用经验公式

$$\sigma_{cr} = a - b\lambda_b = 304 - 1.12 \times 78 = 216.6 \text{ MPa}$$

$$F_{cr} = \sigma_{cr} A = \sigma_{cr} b h \approx 13 \times 10^3 \text{ kN}$$



$$\sigma_{cr} = 216.6 \text{ MPa}$$

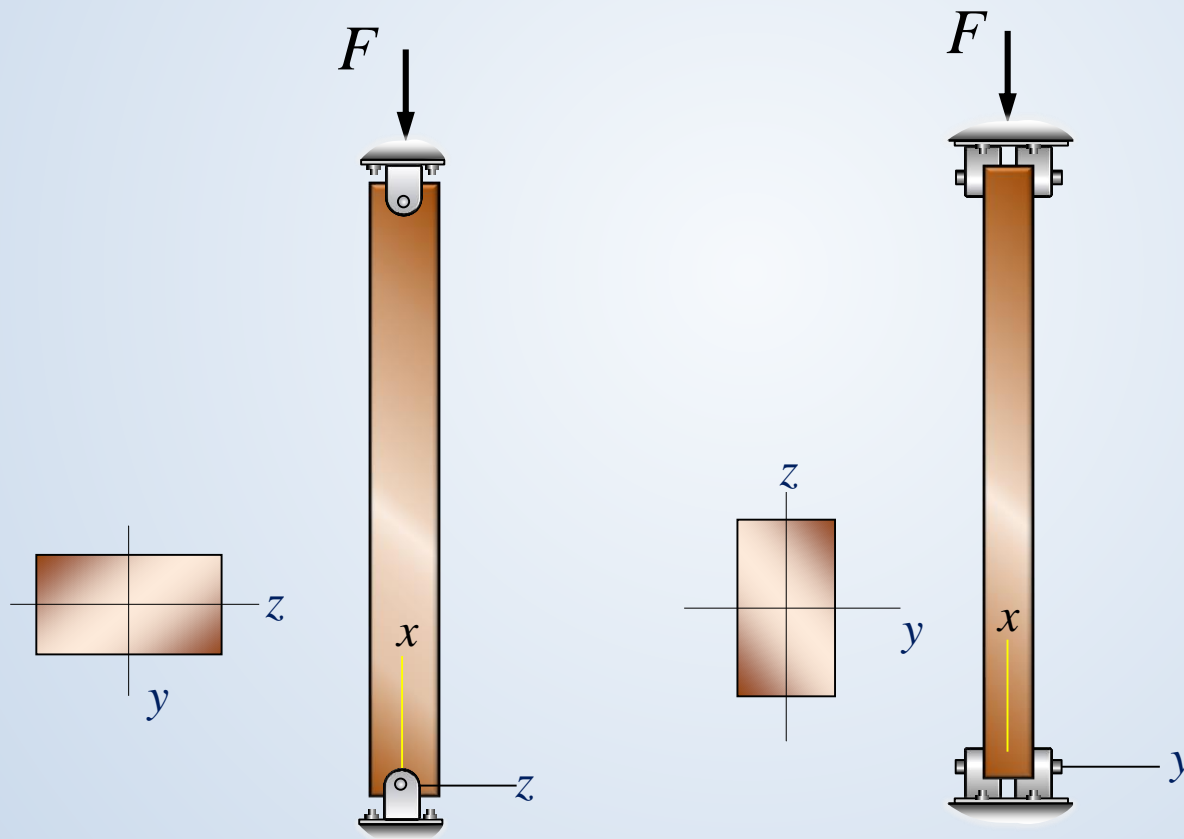
$$F_{cr} = 13 \times 10^3 \text{ kN}$$



## 14.3 欧拉公式的适用范围

例2 已知:  $A=12\times 20\text{cm}^2$ ,  $l=700\text{cm}$ ,  $E=10\text{GPa}$   $\lambda_p=110$

求: 1. 判别失稳方向 2. 计算临界力



A vertical rod is shown with a downward force  $F$  applied at the top. A displacement  $x$  is indicated at the bottom of the rod.

A diagram of a vertical bar under tension. A downward force  $F$  is applied at the top. A coordinate system is shown with  $x$  pointing down from the top and  $y$  pointing right from the bottom.

A diagram showing a rectangular element in the  $y$ - $z$  plane. The vertical axis is labeled  $y$  and the horizontal axis is labeled  $z$ . The rectangle is centered at the origin of these axes.

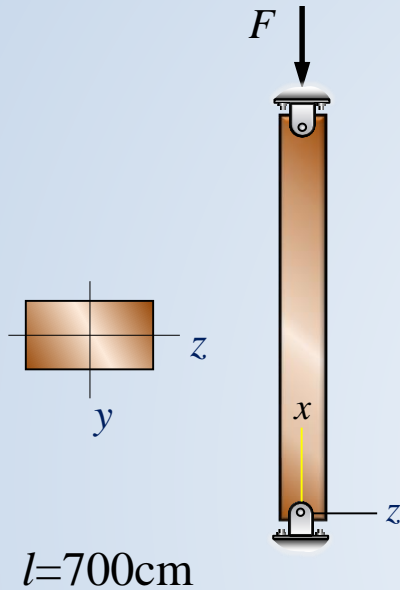
$l=700\text{cm}$

A diagram of a vertical bar under tension. A downward force  $F$  is applied at the top. A coordinate system is shown with  $x$  pointing down from the top and  $y$  pointing right from the bottom.

故在最大刚度平面内失稳



## 14.3 欧拉公式的适用范围



### 2. 计算临界力

$$\because \lambda_y = 121 > \lambda_p \quad \lambda_p = 110$$

$$\therefore \sigma_{cr} = \frac{\pi^2 E}{\lambda_y^2} = 6.73 \text{MPa}$$

$$F_{cr} = \sigma_{cr} A = 161 \text{kN}$$



## 14.4 压杆的稳定校核

压杆的工作载荷 $F$ , 临界力 $F_{cr}$

规定安全系数 $n_{st}$

稳定条件式: 
$$F \leq \frac{F_{cr}}{n_{st}}$$

安全系数法:

$$n = \frac{F_{cr}}{F} \geq n_{st}$$

$n$ 为工作安全系数





## 14.4 压杆的稳定校核

稳定条件可解三类问题：

- (1) 校核稳定性；
- (2) 确定许可载荷；
- (3) 设计截面尺寸（设计要试算）



步骤

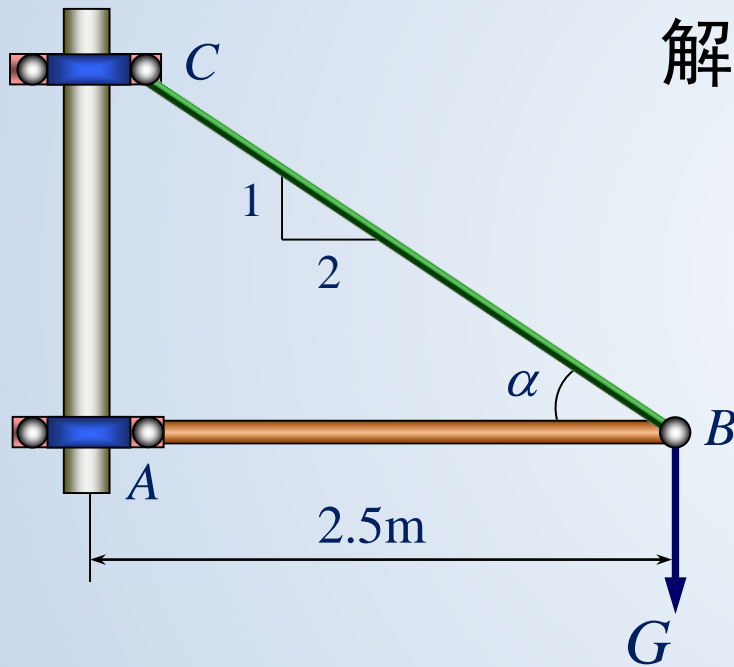
1. 求临界力  $F_{cr}$
2. 求工作载荷  $F$
3. 求工作安全系数，作稳定计算

$$n = \frac{F_{cr}}{F} \geq n_{st}$$



## 14.4 压杆的稳定校核

例3 已知:  $AB$  空心:  $D=76\text{mm}$ ,  $d=68\text{mm}$   $BC$  实心:  $D_1=20\text{mm}$ , Q235钢,  $n=1.5$ ,  $n_{st}=4$ ,  $G=20\text{kN}$  试校核此结构



解: (1) 校核  $AB$  杆的稳定

$$i = \sqrt{\frac{I}{A}} = \frac{D}{4} \sqrt{1 + \left(\frac{d}{D}\right)^2} = 25.5 \text{ mm}$$

$$\mu=1 \quad l=2.5\text{m} \quad \lambda = \frac{\mu l}{i} = 98$$

对 Q235 钢  $\lambda_p=100$ ,  $\lambda_s=60$ ,

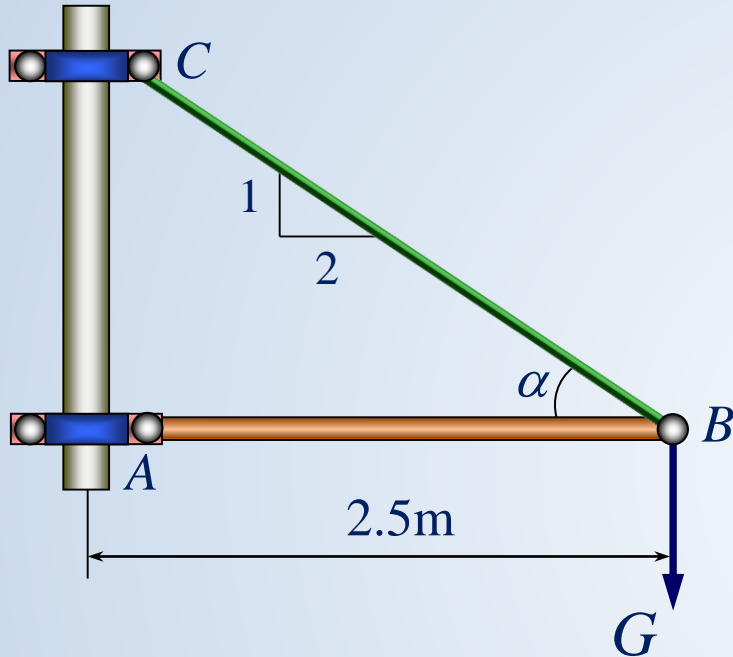
$\lambda_s < \lambda < \lambda_p$  故  $AB$  为中柔度杆

由直线公式并查表  $\sigma_{cr} = a - b\lambda = 304 - 1.12\lambda$

$$F_{ABcr} = (a - b\lambda) A = 175.6 \text{ kN}$$



## 14.4 压杆的稳定校核



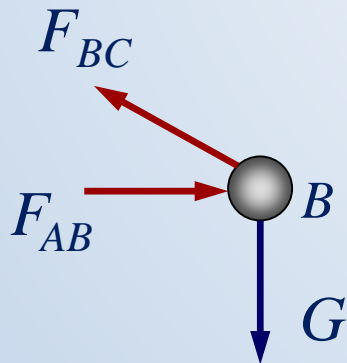
$$\sum F_x = 0 \quad F_{AB} = F_{BC} \cos \alpha$$

$$\sum F_y = 0 \quad F_{BC} \sin \alpha = G$$

$$F_{AB} = \frac{G}{\tan \alpha} = 40 \text{ kN}$$

$$F_{BC} = \frac{G}{\sin \alpha} = 44.7 \text{ kN}$$

$$n = \frac{F_{AB\text{cr}}}{F_{AB}} = \frac{175.6}{40} = 4.39 > n_{\text{st}} = 4$$

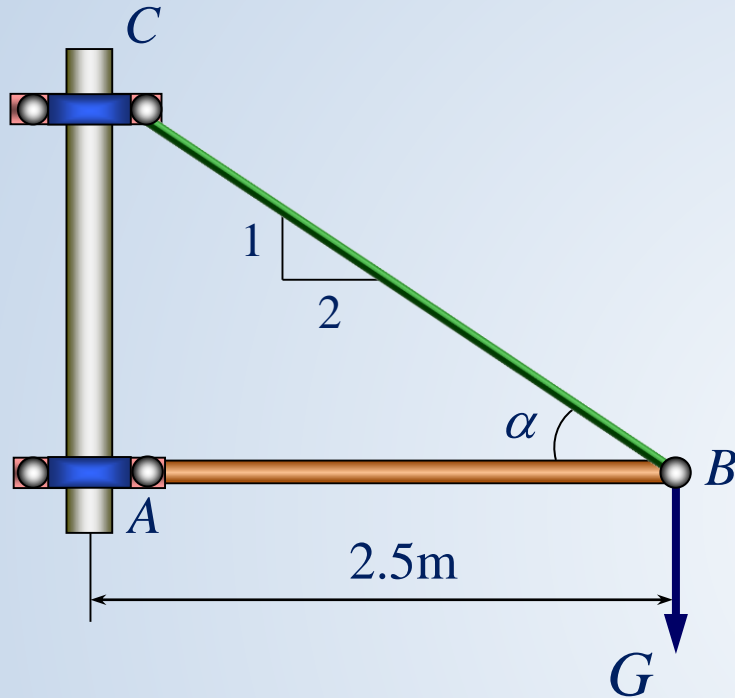


AB满足稳定条件



## 14.4 压杆的稳定校核

### (2) 校核BC杆的强度



$$\sigma_{BC} = \frac{F_{NBC}}{A_{BC}} = \frac{F_{BC}}{A_{BC}} = \frac{44.7 \times 10^3}{\frac{1}{4} \pi \cdot (20 \times 10^{-3})^2}$$

$$= 142.4 \text{ MPa}$$

$$\sigma_s = 235 \text{ MPa} \quad [\sigma] = \frac{\sigma_s}{n} = 156.6 \text{ MPa}$$

由于  $\sigma_{BC} < [\sigma]$

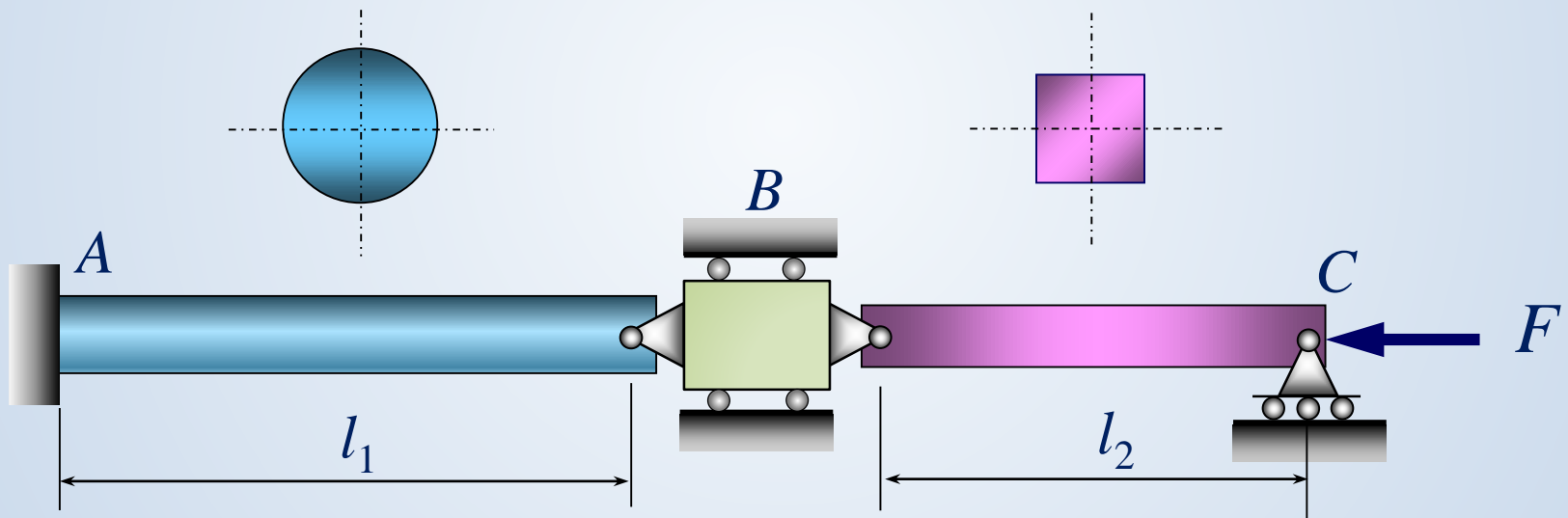
BC杆满足强度条件，故此结构安全



## 14.4 压杆的稳定校核

例4已知  $d=80\text{mm}$ ,  $a=70\text{mm}$ ,  $l_1=4.5\text{m}$

$l_2=3\text{m}$ ,  $E=210\text{GPa}$ ,  $n_{\text{st}}=2.5$  求  $[F]$





## 14.4 压杆的稳定校核

解：1. 计算AB的 $F_{cr}$ 和 $[F]_{AB}$

(1) 计算AB杆的柔度

$$i_1 = \frac{d}{4} = 20\text{mm} \quad \mu_1 = 0.7$$

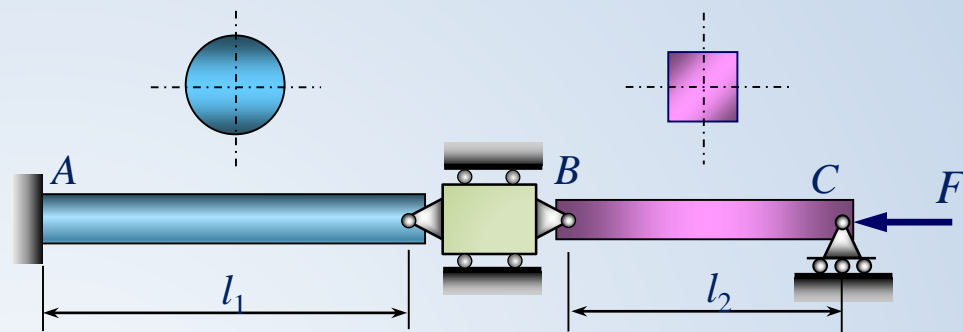
$$\lambda_{AB} = \frac{\mu_1 \cdot l_1}{i_1} = 157.5 \quad \text{对Q235钢 } \lambda_p \approx 100 \text{ 故AB为大柔度杆}$$

(2) 计算AB杆的  $F_{cr}$

$$F_{cr} = \frac{\pi^2 EI}{(\mu l)^2} = \sigma_{cr} A = \frac{\pi^2 E}{\lambda^2} \frac{\pi d^2}{4} = 420\text{kN}$$

(3) 计算AB杆的  $[F]_{AB}$

$$n = \frac{F_{cr}}{F_{AB}} \geq n_{st} \quad [F]_{AB} = \frac{F_{cr}}{n_{st}} = 164.8\text{kN}$$







## 14.4 压杆的稳定校核

2. 计算BC的 $F_{cr}$ 和 $[F]_{AB}$

(1) 计算 $\lambda_{BC}$

$$i_2 = \sqrt{\frac{I}{A}} = \frac{a}{2\sqrt{3}} = 20.2 \text{ mm}$$

$$\mu_2=1 \quad \lambda_{BC} = \frac{\mu_2 l_2}{i_2} = 148.5 > \lambda_p \quad BC \text{ 为大柔杆}$$

(2) 计算BC杆的 $F_{cr}$

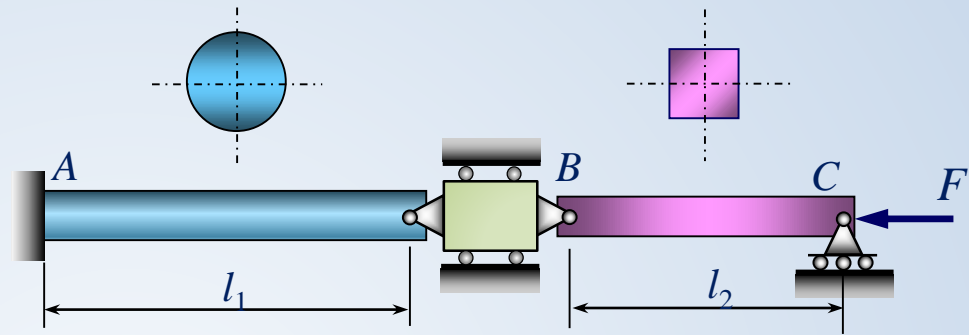
$$F_{cr} = \frac{\pi^2 EI}{(\mu l)^2} = \sigma_{cr} A = \frac{\pi^2 E}{\lambda^2} a^2 = 460 \text{ kN}$$

(3) 计算BC杆的 $[F]_{BC}$

$$n = \frac{F_{cr}}{F_{BC}} \geq n_{st} \quad [F]_{BC} = \frac{F_{cr}}{n_{st}} = 184 \text{ kN}$$

$$[F]_{AB} = \frac{F_{cr}}{n_{st}} = 164.8 \text{ kN}$$

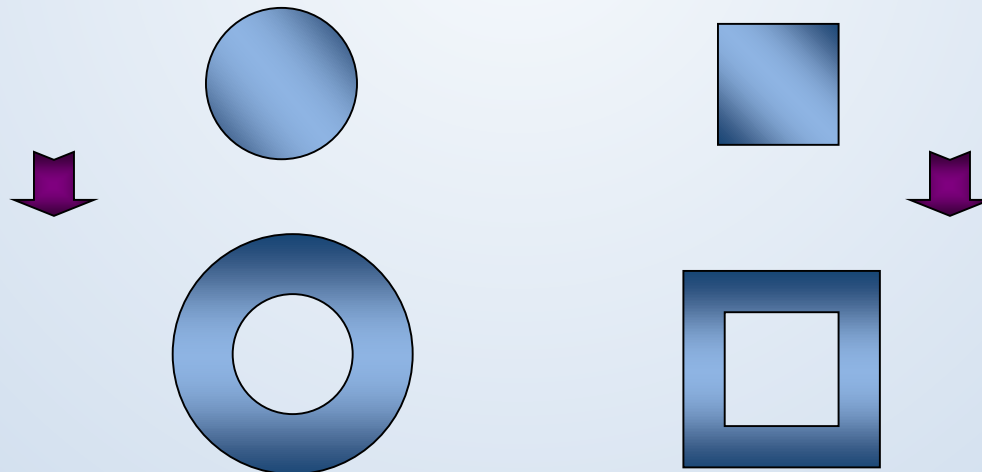
$$[F] = 164.8 \text{ kN}$$



提高  $F_{cr}$       降低  $\lambda = \frac{\mu l}{i}$

## 一.选择合理的压杆截面形状

$$1. \quad \mu_y = \mu_z \quad \Rightarrow \quad I_y = I_z \quad (i_y = i_z) \quad \Rightarrow \quad A = C$$



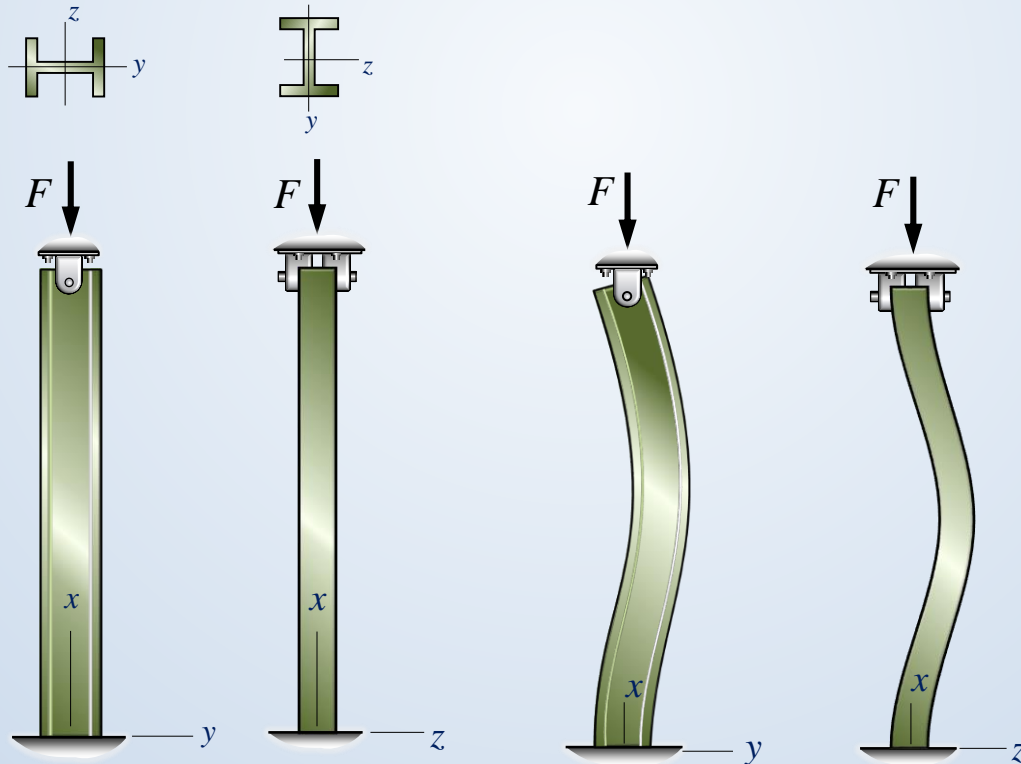


## 14.5 提高压杆稳定性的措施

$$2. \mu_y \neq \mu_z \Rightarrow I_y \neq I_z$$

$$\Rightarrow \lambda_y \approx \lambda_z$$

$$\mu_y > \mu_z \Rightarrow I_y > I_z$$

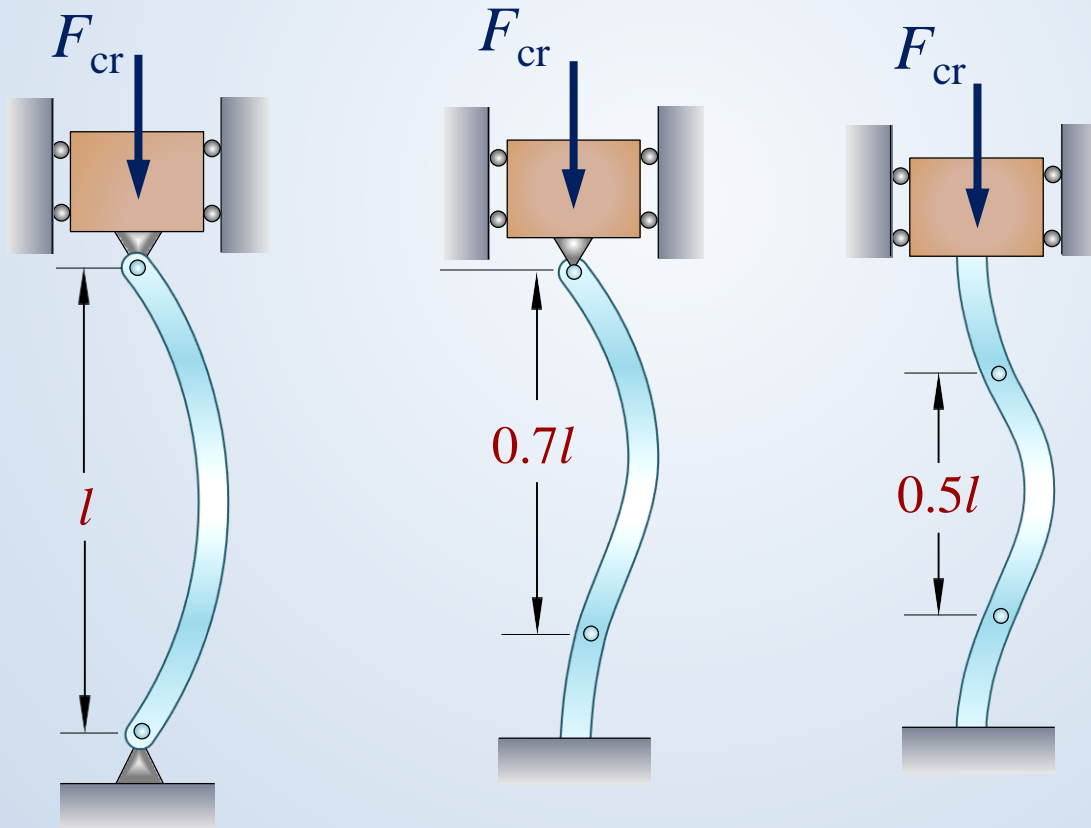




## 14.5 提高压杆稳定性的措施

### 二. 改善约束条件

#### 加强约束

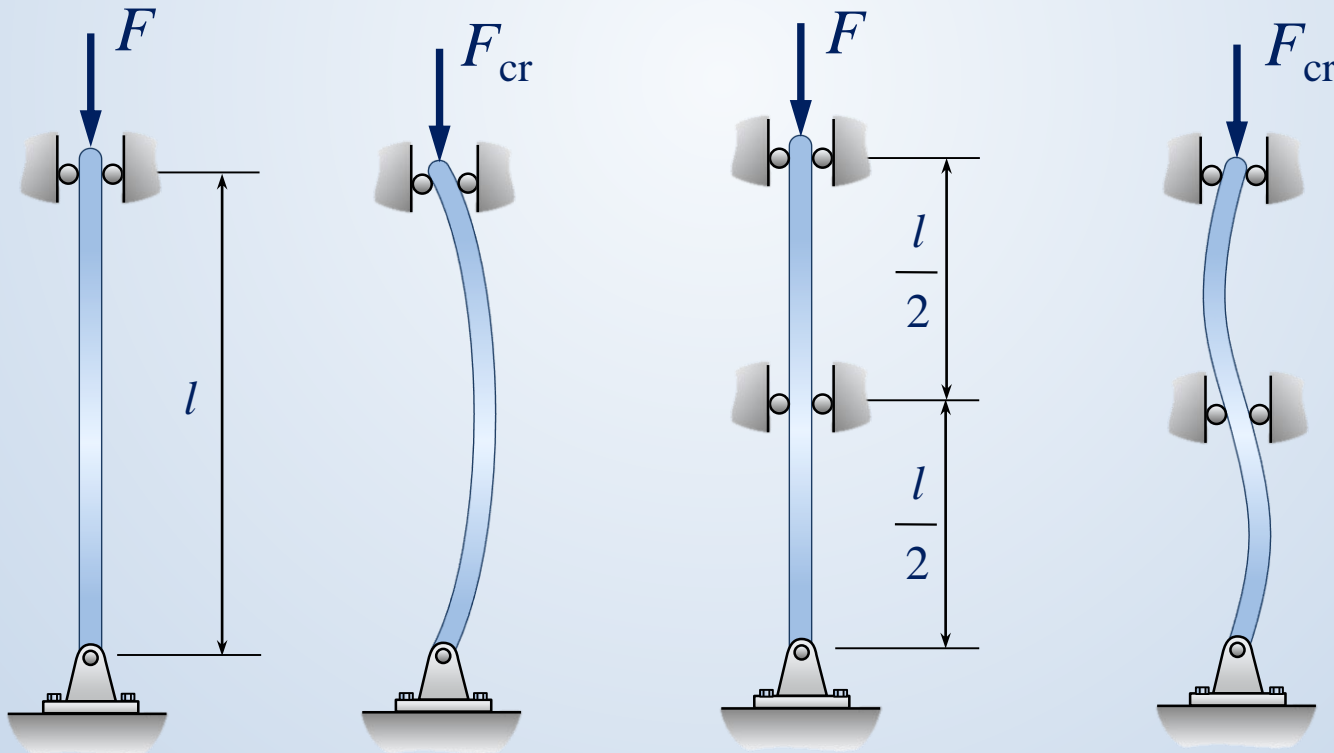




## 14.5 提高压杆稳定性的措施

### 三. 尽量减小压杆长度

$$F_{cr} = \frac{\pi^2 EI}{(\mu l)^2} \quad \text{增加支座}$$





## 14.5 提高压杆稳定性的措施

### 四.合理选材

#### 1.大柔度杆——各类钢材 $E$ 接近

改用优质钢并不会提高压杆的稳定性

#### 2.中柔度杆——经验公式中系数与 $\sigma_s$ , $\sigma_b$ 和有关

各类钢材 $\sigma_s$ ,  $\sigma_b$  相差很大,  $\sigma_s$ ,  $\sigma_b$ 越高, 临界力越高, 稳定性越高。

#### 3.小柔度杆----各类钢材 $\sigma_s$ , $\sigma_b$ 不同

即强度杆, 可选强度高的钢材。

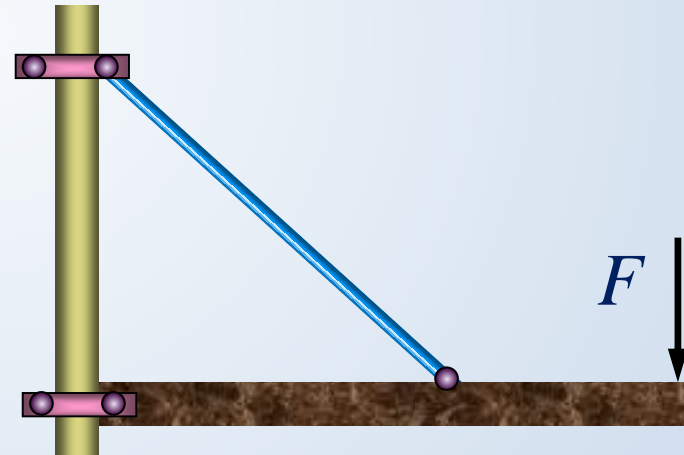
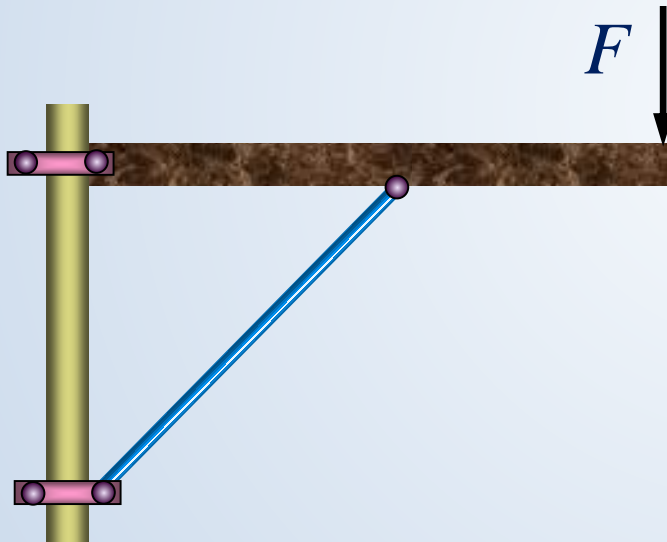




## 14.5 提高压杆稳定性的措施

### 五.其他

改变受力状态 压  $\rightarrow$  拉





# Thank you!